

дают сказанное выше. Таким образом, в пределе сильной нелинейности $|\gamma\Gamma| \rightarrow \infty$ в переменных I_3, I_4 несмотря на существование многозначных решений, бистабильность отсутствует. Появления бистабильных решений можно ожидать при умеренных значениях $|\gamma\Gamma| > \pi$, когда, например, в области малых значений I_4 наряду с ветвями 1 (рисунок, а) или 3 (рисунок, б, в) становятся устойчивыми также нижние части ветвей 3 (рисунок, а) или 2 (рисунок, б, в).

Л и т е р а т у р а

- [1] K w o n g S.K., Y a r i v A. // Opt. Lett. 1986. V. 11. P. 377.
- [2] Силин В.П., Тихоничук В.Т., Чеготов М.В. // Физика плазмы. 1986. Т. 12. С. 350.
- [3] Gauthier D.J., Narum R., Boyd R.W. // Phys. Rev. Lett. 1987. V. 58. P. 1640.
- [4] Одулов С.Г., Стурман Б.И. // ЖЭТФ, 1987. Т. 92. С. 2016.
- [5] Shaw K.D., Cronin-Golomb M. // Opt. Commun. 1988. V. 65. P. 301.

Физический институт
им. П.Н. Лебедева АН СССР,
Москва

Поступило в Редакцию
18 сентября 1988 г.

Письма в ЖТФ, том 15, вып. 3

12 февраля 1989 г.

01; 03

НОВЫЙ МЕХАНИЗМ МАССОПЕРЕНОСА В СИСТЕМЕ ГАЗ-АДСОРБАТ-ТВЕРДОЕ ТЕЛО

А.В. П р о с я н о в, В.Д. Б о р м а н,
С.Ю. К р ы л о в, Б.И. Н и к о л а е в

Хотя неравновесные явления в газах, в частности, течение газов в каналах, считаются в принципе понятными, в литературе имеется целый ряд экспериментальных данных, необъяснимых с микроскопической точки зрения. В частности, для физически адсорбирующихся газов, когда при течении в мелкопористых фильтрах восстанавливаемые из эксперимента [1] значения активационного барьера поверхности диффузии (ε) оказывались неразумно большими (порядка энергии активации десорбции), что противоречит результатам прямых исследований [2] поверхностного переноса. К тому же, значения ε получались разными для фильтров из одинакового материала, но с разным средним диаметром пор. Как было недавно

обнаружено [3], аналогичные особенности оказываются характерными и для течения газов в полимерных ядерных фильтрах с почти идеальными цилиндрическими каналами. В совокупности все эти противоречия указывают на возможное проявление неизвестной ранее фундаментальной особенности системы газ-адсорбат-твердое тело.

Обратим внимание на то, что под адсорбцией всегда понимается захват частиц в потенциальную яму на поверхности (см. рис. 1), а частицы „над ямой”, находящиеся в несвязанных состояниях в области действия поверхностных сил, игнорируются. Действительно, если глубина потенциальной ямы $V_m > T$, число таких частиц мало ($\sim \exp[-V_m/T]$)

по сравнению с адсорбированными и к заметным микроскопическим следствиям они приводить не должны. Ниже мы покажем, что несвязанные молекулы в определенных условиях могут принципиальным образом влиять на процессы переноса. В частности, возникает связанный с ними новый вклад в поток частиц вдоль поверхности, сильно меняющий его зависимость от температуры, геометрии системы и снимающий упомянутые выше противоречия.

Введем кинетическое уравнение для функции распределения (ρ) всех частиц в области действия поверхностных сил. Опуская процедуру его обоснования до подробной публикации [4], отметим, что оно получается при усреднении по нормальной координате z в области $0 < z < L$ (см. рис. 1) точного уравнения для одночастичной функции распределения и имеет вид:

$$\frac{\partial \rho}{\partial t} + v_x \frac{\partial \rho}{\partial x} + v_y \frac{\partial \rho}{\partial y} = -(\rho - \rho_0) \tau^{-1} + \theta(E_z) \frac{\xi}{L} (f - \rho). \quad (1)$$

Здесь $\rho = \rho(x, y, v_x, v_y, E_z)$, \vec{v} — скорость частицы, $E_z = \frac{mv_z^2}{2} + V(z)$ — усредненный по тепловым колебаниям атомов потенциал взаимодействия молекулы с твердым телом, поверхность которого при $T = 0$ предполагается гладкой, $\xi = \frac{2E_z}{m}$, ρ_0 — равновесное распределение, $f = f|_{z=L}, v_z \geq 0$, f — функция распределения газа ($z \geq L$), $\theta(\alpha) = 1 (\alpha \geq 0), 0 (\alpha < 0)$. Второй член в правой части (1) описывает приход и уход частиц с $E_z > 0$ из поверхностной фазы в газ; частота ухода ξ/L определяется просто временем свободного

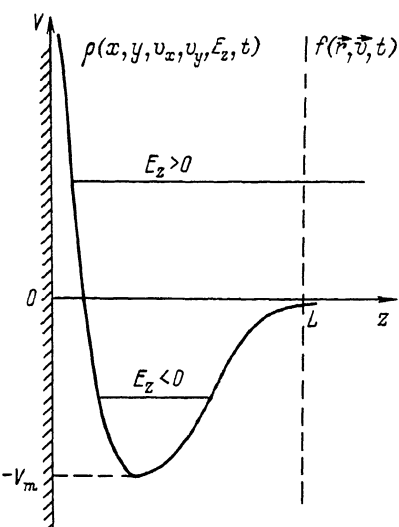


Рис. 1.

пролета частицей области взаимодействия. Отметим, что корректный учет „взаимодействия“ между ансамблем поверхностных частиц ($z < L$) и газом ($z \geq L$), которое описывается вторым членом в (1), принципиально отличает полученное уравнение от кинетических уравнений, использовавшихся ранее при анализе различных неравновесных явлений в адсорбате. Первый член в правой части (1) – интеграл „столкновений“ молекул с фононами, учитывающий переходы молекул между уровнями $E_z \gtrsim 0$ и записанный здесь в простейшем приближении времени релаксации (τ). Столкновениями частиц в поверхностной области $0 < z < L$ пренебрегаем, считая давление газа достаточно низким или температуру достаточно высокой. Уравнение (1) должно решаться совместно с граничным условием

$$f^+ = \theta(E_z) \rho \quad (2)$$

и уравнением Больцмана для f^- , которое получается стандартным методом для области $z \geq L$. Для определения процессов переноса в газовой фазе ($z \geq L$) достаточно [4] решения уравнения Больцмана с граничным условием, связывающим f^+ с f^- и получающимся после подстановки в (2) стационарного решения уравнения (1). В рамках такого подхода удается [4] дать новую интерпретацию хорошо известных явлений, например аккомодации газа на поверхности, и описать ряд недавно обнаруженных явлений, например неравновесное распределение десорбирующихся молекул.

Рассмотрим перенос молекул (газа и адсорбата) вдоль поверхности, связанный с наличием тангенциального градиента плотности числа частиц. Поверхностный ансамбль характеризуется при этом градиентом (∇n_s) поверхностной плотности молекул (n_s – полное число частиц в области $0 < z < L$ на единицу площади поверхности). Для частиц, адсорбированных в традиционном понимании ($-V_m < E_z < 0$), второй член в правой части уравнения (1) равен 0, поэтому их неравновесное состояние однозначно определяется значением ∇n_s . Однако распределение частиц с $E_z > 0$ зависит не только от неравновесного состояния самого ансамбля поверхностных молекул, но и от неравновесного состояния газа ($z \geq L$), характеризующегося значением градиента объемной плотности (∇n_v). Поэтому, если ролью частиц „над ямой“ в процессе переноса заранее не пренебречь, надо решать уравнение Больцмана, (1) и (2) как систему. Вычисляя таким образом поток (J) для стационарного свободно-молекулярного течения газа в длинном канале диаметром d , получим (без краевых эффектов на концах канала):

$$J = J_v + J_s + J^*, \quad J_v = \frac{\sqrt{\pi}}{6} \bar{v} d^3 \nabla n_v, \quad (3)$$

$$J_s = \frac{\pi}{4} \bar{v}^2 \tau d \nabla n_s, \quad J^* = \frac{\pi}{4} \bar{v}^2 \tau d^2 \nabla n_s,$$

$\bar{v} = \left(\frac{27}{m}\right)^{1/2}$. Здесь J_v – обычный объемный поток газа (коэффициент, определяемый аккомодацией импульса на поверхности и всегда близ-

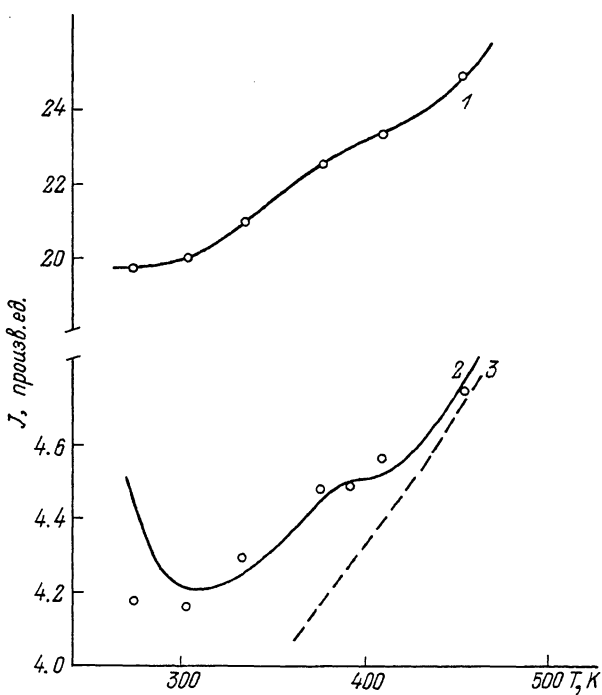


Рис. 2.

кий к 1, опущен); J_S — поток адсорбата, имеющий в данном случае гладкой поверхности и малого заполнения вид потока двумерного газа, в котором роль длины свободного пробега (по отношению к столкновениям с фононами) играет величина $\bar{v}\tau$. Принципиально новый член в (3) — J^* — является следствием существенно нелокального кинетического эффекта. Он обязан своим существованием зацеплению в уравнениях (1), (2) функций f и ρ , определенных на разных областях координатного пространства. Формально выражение для J^* в (3) складывается из двух частей. Первая — вклад в поверхностный поток частиц, пропорциональный ∇n_V и связанный с молекулами (над ямой, $E_z > 0$), которые сохраняют принесенный ими из газа избыточный тангенциальный импульс в течение времени релаксации τ . Вторая часть J^* — вклад в объемный поток газа, пропорциональный ∇n_S и связанный с переносом импульса частицами (с $E_z > 0$), вылетающими в газ. Эти перекрестные вклады в объемный и поверхностный потоки оказываются равными в силу выполнения принципа Онзагера и соотношения $\nabla n_V/n_V = \nabla n_S/n_S$, имеющего место при малом заполнении поверхности. Таким образом, J^* можно интерпретировать как взаимное увлечение объемного и поверхностного потоков, но (в отличие от тривиального увлечения) в отсутствие столкновений между газовыми и адсорбированными частицами.

Как следует из (3), поток J^* сравним с J_V , когда $d \sim \bar{v}\tau$, и J^* сравним с J_S , когда $d \sim \frac{n_S}{n_V}$. Объемная и поверхностная плотности частиц связаны соотношением $n_S t_a^{-1} = \frac{1}{4} n_V \bar{v}$, где $t_a = t_0 \exp\left(\frac{V_m}{T}\right)$, $t_0 \sim 10^{-13}$ с. Как нетрудно оценить, в тонких каналах с $d \lesssim 100 \text{ \AA}$ все три вклада в поток (3) могут быть сравнимы. Поток $J^* \sim T\tau(T)d^2$ и зависит от T и d существенно иначе, чем $J_V(\sim \sqrt{T}d^3)$ и $J_S(\sim T\tau(T)\exp\left(\frac{V_m}{T}\right)d)$ при заданном n_V . Отмечим, что в хорошо изученном случае течения в „толстых“ каналах ($d \gtrsim 100-1000 \text{ \AA}$) поток J^* оказывается пренебрежимым, выражение (3) сводится к традиционному (поток газа плюс поток адсорбата).

Формула (3) уже без учета J^* качественно объясняется наблюдаемое в экспериментах с тонкими каналами падение J с ростом температуры при малых T (когда $J \approx J_S$ и сказывается уменьшение n_S) и рост J при больших T ($J \approx J_V \sim \bar{v}\tau$). Однако учет J^* сильно меняет детальный вид зависимости $J(T, d)$ и позволяет впервые непротиворечиво описать наблюдаемые зависимости потока газа в мелкопористых и ядерных фильтрах от T и среднего диаметра каналов d . Рассмотрим здесь данные (см. рис. 2) работы [1], где кроме измерения $J(T, d)$ устанавливалось значение V_m (по изотермам адсорбции). Предполагая, что формула (3) применима к пористому телу с точностью до множителя, связанного с „извилистостью“ каналов [1], определим параметр τ в (3) как функцию температуры из условия совпадения $J(T)$ с экспериментом при $d = 49 \text{ \AA}$ (кривая 1 на рис. 2, при этом $\bar{v}\tau \sim 10 \text{ \AA}$). Вычисление потока $J(T)$ для фильтра с $d = 34 \text{ \AA}$ с использованием полученной зависимости $\tau(T)$ ведет к результату (кривая 2), согласующемуся с экспериментом. Следует отметить, что при $d = 34 \text{ \AA}$ в теоретической зависимости $J(T)$, как и в экспериментальной, проявляется минимум, отсутствовавший при $d = 49 \text{ \AA}$. Такая же замкнутая процедура сравнения с экспериментом без учета J^* в (3) к согласию не ведет (кривая 3).

Отметим, что в соответствии с (3) зависимость $J(T)$ должна отличаться от $J_V \sim \sqrt{T}$ даже в условиях, когда поверхностный поток J_S пренебрежим. Это позволяет объяснить наблюдаемую (см., например, [5]) „аномальную“ зависимость $J(T)$ для неадсорбирующегося (при $T \sim 300 \text{ K}$) газа He .

Авторы выражают признательность Л.А. Максимову за обсуждение работы.

Л и т е р а т у р а

- [1] Barrer R.M., Gabor T. // Proc. Roy. Soc. A. 1960. V. 256. P. 267-290.
- [2] Surface Mobilities on Solid Materials, ed. Vu T.B., Plenum Press, N.Y., 1983.

- [3] Овчинников В.В., Кузнецов В.И., Породнов Б.Т., Селезнев В.Д., Ханякин А.С. Исследование вклада поверхностной диффузии при измерениях эффективного диаметра пор ядерных ультрафильтрационных мембран газодинамическим способом. Препринт ОИЯИ. № 18-85-801, Дубна, 1985. 10 с.
- [4] Борман В.Д., Крылов С.Ю., Просянов А.В. // ЖЭТФ. 1988. Т. 95. № 10. Р. 271.
- [5] Hwang S.-T., Kammermeyer K. // Separation Science. 1967. V. 2. P. 555-557.

Московский инженерно-физический
институт

Поступило в Редакцию
28 марта 1988 г.
В окончательной редакции
20 ноября 1988 г.

Письма в ЖТФ, том 15, вып. 3

12 февраля 1989 г.

07; 12

О РАЗРЕШАЮЩЕЙ СПОСОБНОСТИ КОМПЬЮТЕРНОГО ФАЗОВОГО МИКРОСКОПА

В.П. Тычинский, К.Б. Самсонов,
И.Н. Мазалов

Компьютерный фазовый микроскоп по оптической схеме интерферометра Линника обеспечивает разрешение в плоскости $d \approx 0.2$ мкм и по высоте $4Z \approx 1$ нм. Инвариантом является „неразрешаемый“ объем $V = dZ \cdot d^2 = \frac{\lambda^3}{2\pi^3} \left(\frac{a}{f}\right)^2 \left(\frac{s}{N}\right)^{-1}$.

Экспериментально получено значение $V < 10^{-4}$ мкм³.

1. В последние годы в связи с проблемами микроэлектроники, оптической и магнитной записи информации, интегральной оптики и других областей техники ведутся интенсивные исследования новых методов измерения параметров поверхности, обеспечивающих разрешение по высоте порядка единиц ангстрем.

Для этой цели используются растровые электронные микроскопы, тунNELьные микроскопы, а также различные типы оптических интерферометров с модуляцией фазы опорной волны. В таких устройствах решающее значение имеет использование ЭВМ с соответствующим программным обеспечением.

В дальнейшем для работ этого направления мы будем использовать термин „компьютерная оптика“ (КО).

Сущность фазовых методов компьютерной оптики (ФКО) состоит в цифровом восстановлении функции высоты рельефа $Z(x, y)$ по